

# ΠΡΑΚΤΙΚΑ ΤΗΣ ΑΚΑΔΗΜΙΑΣ ΑΘΗΝΩΝ

---

ΣΥΝΕΔΡΙΑ ΤΗΣ 30ΗΣ ΜΑΡΤΙΟΥ 1972

ΠΡΟΕΔΡΙΑ ΓΡΗΓ. ΚΑΣΙΜΑΤΗ

---

ΑΝΑΚΟΙΝΩΣΕΙΣ ΜΗ ΜΕΛΩΝ

ΜΕΤΕΩΡΟΛΟΓΙΑ.—'Επὶ τῆς χρονικῆς κατανομῆς τῶν βροχῶν κατὰ τὰς διελεύσεις θερμῶν μετώπων ἐκ τῶν Ἀθηνῶν (Σταθμὸς τοῦ Ἐθνικοῦ Ἀστεροσκοπείου)\*, ὑπὸ Δεων. N. Καραπιπέρη καὶ Ἰωάν. Δ. Ζαμπάκα. Ἀνεκοινώθη ὑπὸ τοῦ Ἀκαδημαϊκοῦ κ. Ἡλία Μαριολοπούλου.

## I. Εἰσαγωγὴ

Σκοπὸς τῆς παρούσης μελέτης εἶναι ἡ σπουδὴ τῆς κατανομῆς τῶν βροχοπτώσεων, ἐν σχέσει πρὸς τὸν χρόνον διελεύσεως τῶν θερμῶν μετώπων ἐξ ἐνὸς τόπου καὶ ὥς τοιοῦτος ἐπελέγη ὁ Σταθμὸς τοῦ Ἐθνικοῦ Ἀστεροσκοπείου Ἀθηνῶν ( $\varphi = 37^{\circ}58' \text{B}$ ,  $\lambda = 23^{\circ}43' \text{A}$  καὶ  $h = 107 \text{ m}$ ). Οὕτω διὰ τῆς μελέτης ταύτης ὀλοκληροῦται ἡ καταβληθεῖσα προσπάθεια ὅσον ἀφορᾷ εἰς τὴν κατανομὴν τῶν ἀτμοσφαιρικῶν κατακρημνισμάτων ἐν σχέσει πρὸς τὴν διέλευσιν ἀτμοσφαιρικῶν ἀσυνεχειῶν (4). Ἡ δρογοφαφικὴ ἐπίδρασις εἶναι ἀμελητέα, ὡς δὲ εἶναι γνωστόν, ἡ ζώνη μεταφορᾶς (6) καὶ γενικῶς ὁ θερμὸς τομεὺς παρουσιάζει μεγάλην ἀστάθειαν (7), διὸ καὶ ἐξ αὐτοῦ προέρχεται σχεδὸν ὀλόκληρον τὸ ποσὸν τῶν ἀτμοσφαιρικῶν ἀποβλημάτων (4). Ἐπίσης, πλησίον τῆς παρὰ τὸ ἔδαφος θερμῆς μετωπικῆς ἐπιφανείας, δημιουργεῖται σύγκλισις λόγῳ τριβῆς εἰς τὴν κάτωθεν αὐτῆς ψυχρὰν ἀέριον μᾶζαν προκαλοῦσα ἀνοδικὰς κινήσεις ἐντὸς αὐτῆς καὶ οὕτω μέρος τῶν ὑδρατμῶν αὐτῆς ἀποβάλλεται ὡς βροχὴ (1).

---

\* LEON. N. KARAPIPERIS and JOHN D. ZAMPAKAS, On the time distribution of precipitation during the passage of warm fronts over Athens (The National Observatory Station).

Λαμβανομένης ύπ' ὅψιν τῆς μικρᾶς κλίσεως τῆς θερμῆς μετωπικῆς ἐπιφανείας [(2), (5)], ἀτμοσφαιρικὰ ἀποβλήματα τοῦ θερμοῦ μετώπου παρατηροῦνται δύπωσδήποτε πρὸς καὶ μετὰ τὴν διέλευσιν τοῦ μετώπου διὰ τοῦ Σταθμοῦ.

Πολὺ πρὸς τοῦ μετώπου, π. χ. εἰς μίαν τυπικὴν ἀπόστασιν 100 km περίπου, ἡ ἐκ τοῦ θερμοῦ τομέως προερχομένη βροχὴ ἔξατμίζεται μόλις εἰσέρχεται εἰς τὸν κάτωθεν τῆς μετωπικῆς ἐπιφανείας ψυχρὸν τομέα καὶ δὲν ἔξικνεται μέχρι τοῦ ἐδάφους (1). Τοῦτο διότι ὁ ψυχρὸς ἀηρος μακρὰν τοῦ μετώπου, καὶ ἀκόρεστος εἶναι καὶ εἰς καθοδικὰς κινήσεις ὑπόκειται.

## II. Κριτικὴ καὶ ἐπεξεργασία τοῦ χρησιμοποιηθέντος ύλικοῦ

‘Ο χρόνος διελεύσεως τοῦ θερμοῦ μετώπου καθωρίσθη βάσει τῶν ταινιῶν τοῦ βαρογράφου, θερμογράφου, ἀνεμογράφου καὶ τῶν χαρτῶν καιροῦ, ἀκριβῶς ὡς ἐγένετο προκειμένου καὶ περὶ ψυχρῶν μετώπων (4). Τὸ κριτήριον ἀπεδείχθη ἀκριβὲς εἰς τὰς περισσοτέρας τῶν περιπτώσεων πλὴν ἐλαχίστων καθ' ἄς ὁ χρόνος διελεύσεως καθωρίσθη μὲ μίαν ἀνοχὴν  $\pm 25$  min.

‘Ως βασικὴ περίοδος ἐλήφθη ἡ 20ετία 1951 - 1970 καὶ ἐν αὐτῇ ἐνετοπίσθησαν ἀρχικῶς ὅλαι αἱ διαταραχαί, αἵτινες ἔδωσαν συνεχῆ κατὰ τὸ μᾶλλον ἥ ήττον βροχόπτωσιν  $\geq 15.0$  mm. Ἐκ τῶν εὑρεθεισῶν περιπτώσεων, μόνον αἱ 14 δύνανται νὰ ἀποδοθοῦν ἀσφαλῶς εἰς διελεύσεις τυπικῶν θερμῶν μετώπων, βάσει λεπτομεροῦς ἀναλύσεως τῶν συνοπτικῶν χαρτῶν καιροῦ.

Εἰς τὰς 9 ἐκ τῶν 14 ἀνωτέρω περιπτώσεων, διῆλθεν ἐκ τοῦ Σταθμοῦ πρῶτον ὁ ψυχρὸς τομεὺς καὶ εἴτα ὁ θερμός, ἥτοι ὡς ἀνεμένετο, δι' ὅ καὶ τὰ μέτωπα ταῦτα θὰ χαρακτηρίζωμεν ἐφ' ἔξῆς κανονικὰ θερμὰ (Κ. Θ. Μ.). Εἰς τὰς ὑπολοίπους 5 ὅμιας περιπτώσεις διῆλθεν διὰ τοῦ Σταθμοῦ πρῶτον ὁ θερμὸς τομεὺς καὶ εἴτα ὁ ψυχρὸς λόγῳ τῆς ἐπαλληλίας τῶν κινήσεων τοῦ μετώπου, ἥτοι τοῦ στροβίλισμοῦ αὐτοῦ πέριξ τοῦ μετωποφόρου βαρομετρικοῦ χαμηλοῦ καὶ τῆς κινήσεως τοῦ χαμηλοῦ καθ' ἔαυτό. Τὸ φαινόμενον τοῦτο εἰς οὐδεμίαν τῶν τυπικῶν περιπτώσεων τῶν ψυχρῶν μετώπων παρετηρήθη (4) καὶ τοῦτο πιθανῶς λόγῳ τοῦ σταδίου ὀριμότητος τῆς ὑφέσεως εἰς τὴν περιοχὴν τοῦ Σταθμοῦ. Τὰ θερμὰ ταῦτα μέτωπα, κατὰ τὴν διέλευσιν τῶν ὅποιών ἡ ἀκολουθία τῶν συμπαραρτούντων φαινομένων (π. χ. διαδοχὴ νεφῶν) ἀντιστρέφεται, θὰ καλοῦμεν ἐφ' ἔξῆς ἀκανόνιστα ἥ ἀνακόλουθα θερμὰ μέτωπα (Α. Θ. Μ.).

## III. Χρονικὴ κατανομὴ τῆς βροχῆς εἰς τὰ θερμὰ μέτωπα

Εἰς τὸν πίνακα I δίδονται τὰ ὑψη βροχῆς τὰ σημειωθέντα 10 ὥρας πρὸς καὶ 10 ὥρας μετὰ τὴν διάβασιν τῶν θερμῶν μετώπων.

Εἰς τὸν πίνακα τοῦτον ἐμφαίνονται κεχωρισμένως τὰ Κ.Θ.Μ. καὶ τὰ Α.Θ.Μ.

Τὰ Κ.Θ.Μ. ἔδωσαν συνολικὸν ὕψος βροχῆς 165,3 mm ἐντὸς τῶν ληφθεισῶν 20 ὥρῶν ἐκ τῶν δποίων τὰ 70,78 % (117.0 mm) ἔλαβον χώραν πρὸ τῆς διαβάσεως τῶν μετώπων καὶ τὰ 29,22 % (48,3 mm) μετὰ τὴν διάβασιν. Αἱ μεγαλύτεραι μέσαι ὠριαῖαι ἐντάσεις παρετηρήθησαν 3 ἢ 4 ὥρας πρὸ τῆς διαβάσεως ἥ δὲ μεγίστη κατὰ τὴν ἀμέσως πρὸ τῆς διελεύσεως ὥραν. Ἀξιοσημείωτον τυγχάνει ὅτι αἱ 8 ἐκ τῶν 9 περιπτώσεων τῶν Κ.Θ.Μ., ἔδωσαν τὸ μεγαλύτερον ποσὸν βροχοπτώσεως πρὸ τῆς διελεύσεως τοῦ θερμοῦ μετώπου (πίναξ I).

Οσον ἀφορᾷ εἰς τὰς 5 περιπτώσεις τῶν Α.Θ.Μ., τούτων ἡ συμπεριφορά, ὡς πρὸς τὴν βροχόπτωσιν τούλαχιστον, ἀνεμένετο διμοίᾳ μὲ τὴν τοιαύτην τῶν ψυχρῶν μετώπων (4). Τῷ δοντὶ, ὡς ἔξαγεται ἐκ τοῦ πίνακος I, τὰ 3 ἐκ τῶν 5 ἔδωσαν τὸ μεγαλύτερον ποσὸν βροχῆς μετὰ τὴν διέλευσιν. Κατὰ μέσον ὅρον τὰ 57,90 % τοῦ συνόλου τῆς βροχοπτώσεως ἐσημειώθησαν μετὰ τὴν διέλευσιν καὶ μόνον τὰ 42,10 % πρό, ἐπὶ συνόλου βροχοπτώσεως 103,8 mm. Αἱ μεγαλύτεραι μέσαι ὠριαῖαι ἐντάσεις αὐτῶν παρετηρήθησαν κατὰ τὰς δύο ὥρας μετὰ τὴν διέλευσιν ἥ δὲ μεγίστη τούτων κατὰ τὴν ἀμέσως μετὰ τὴν διέλευσιν ὥραν.

Εἰς τὸ σχῆμα 1 δίδομεν τὰ ἵστογράμματα τῆς διανομῆς τῶν βροχοπτώσεων ἀμφοτέρων τῶν κατηγοριῶν τῶν θερμῶν μετώπων, κανονικῶν καὶ μή, διότι, καίτοι τὰ Α.Θ.Μ. εἶναι θερμὰ μέτωπα, ἐν τούτοις, ὡς ἐδείχθη ἀνωτέρω, ὡς πρὸς τὴν χρονικὴν μόνον κατανομὴν τῆς βροχοπτώσεως ἐν σχέσει πρὸς σταθμόν τινά, συμπεριφέρονται ὡς ψυχρά.

Τὸ συνολικὸν ὕψος βροχῆς ὅλων τῶν θερμῶν μετώπων κατὰ τὸ θεωρηθὲν 20ωρον εἶναι 269,1 mm μὲ 160,7 mm ἀποβληθέντα πρὸ τῆς διελεύσεώς των (59,72 %) καὶ τὰ ὑπόλοιπα 108,4 mm (40,28 %) μετὰ τὴν διέλευσιν αὐτῶν. Ἐκ τοῦ πίνακος I ὁσαύτως διακρίνομεν ὅτι αἱ μεγάλαι μέσαι ἐντάσεις ὅλων τῶν θερμῶν μετώπων παρετηρήθησαν κατὰ τὰς περὶ τὴν διάβασιν ὥρας μὲ τὴν μεγίστην κατὰ τὴν ἀμέσως πρὸ τῆς διαβάσεως ὥραν.

#### IV. Συμπεράσματα

1. Ὅλα γενικῶς τὰ θερμὰ μέτωπα ἔδωσαν βροχόπτωσιν μεγαλυτέρας διαφοραίς καὶ μικροτέρας ἐντάσεως τῶν ψυχρῶν μετώπων (4).

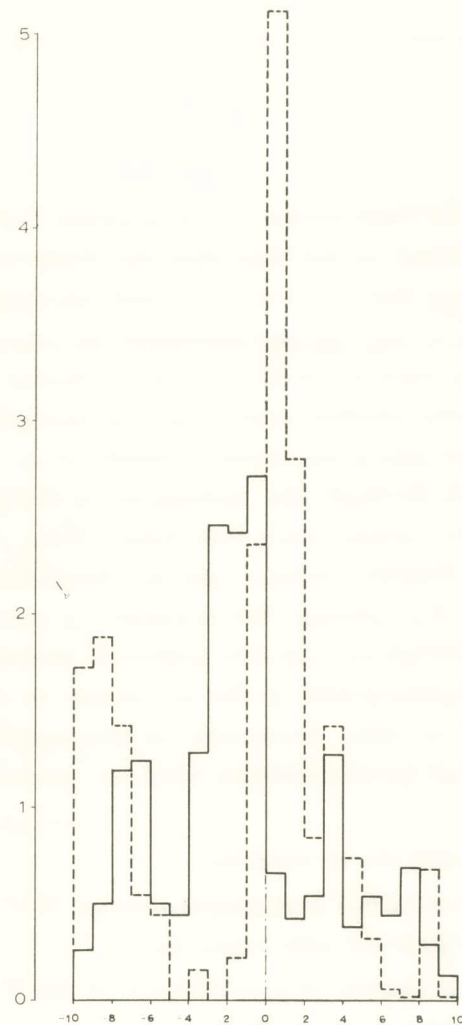
2. Τὰ Κ.Θ.Μ. ἔδωσαν τὸ μεγαλύτερον ποσοστὸν βροχοπτώσεως πρὸ τῆς διελεύσεώς των, ἐν ἀντιθέσει πρὸς τὰ ψυχρά (4).

"Υψη βροχῆς πρὸ διελευσιν τῶν θερμῶν μετά τὴν διέλευσιν τῶν θερμῶν μετά τῶν προ-

## "Υψη βροχής πρὸς καὶ μετὰ τὴν διέλευσιν τῶν θερμῶν μετώπων

A. Θ. M.

$\alpha/\alpha'$	H <sub>regevityta</sub>	O <sub>λίκων</sub>	ΠΙορθεία	-10 - 9 - 8 - 7 - 6 - 5 - 4 - 3 - 2 - 1	1	2	3	4	5	6	7	8	9	10	Ποσοτήτα									
1	14/3 /52	19,3	15,7	3,6	3,9	3,8	2,5	1,9	0	0	0	0	0,2	0	0	0								
2	14-15/4 /55	21,4	3,7	0,2	0	0	0	0	0	0,9	2,6	1,8	2,4	1,3	6,5	3,6								
3	2/2 /62	23,0	14,4	0	4,3	3,1	0,2	0,3	0	0	0,22	6,3	8,5	0	0	0,1								
4	2/12/62	28,9	4,5	0,2	0,9	0,2	0	0,0	0,0	0,8	0,0	0	2,4	13,5	9,1	1,3								
5	12/11/67	11,2	5,4	4,6	0,3	0	0	0	0	0	0	0,5	1,8	2,5	0,5	0								
$\Sigma_{\text{ύνολον}}$		103,8	43,7	8,6	9,4	7,1	2,7	2,2	0,0	0,8	0,0	1,1	11,8	25,6	14,0	4,2								
M. O.		20,76	8,74	1,72	1,88	1,42	0,54	0,44	0,00	0,16	0,00	0,22	2,36	5,12	2,80	0,84								
		%												1,420,740,320,060,020,680,0212,02										
		%												57,90										
$\Gamma_{\text{εν. Σύνολον}}$		269,1	160,7	10,9	13,9	17,8	13,9	6,7	4,0	12,3	22,1	22,9	36,2	31,5	17,8	9,1	18,5	7,1	6,5	4,3	6,3	6,0	1,3	108,4
$\Gamma_{\text{εν. M.O.}}$		19,22	11,48	0,79	0,99	1,27	0,99	0,48	0,29	0,88	1,58	1,64	2,59	2,25	1,27	0,65	1,32	0,51	0,46	0,31	0,45	0,43	0,10	7,74
		%												40,28										



Σχ. 1. Μέσαι ώριαται έντάσεις βροχοπτώσεως πρό και μετά την διέλευσιν τῶν θερμῶν μετώπων. Κ.Θ.Μ. (πλήρης γραμμή) και Α.Θ.Μ. (διακεκομμένη γραμμή).

3. Τὰ Α.Θ.Μ. συμπεριφέρονται ώς πρὸς τὴν χρονικὴν κατανομὴν τῆς βροχῆς ἐν σχέσει μὲ τὸν χρόνον διελεύσεως ώς ψυχρὰ (4).

4. Αἱ μέσαι ὀριαῖαι ἐντάσεις βροχοπτώσεως τῶν Κ.Θ.Μ. παρατηροῦνται εἰς τὰς περὶ τὴν διέλευσιν ὥρας μὲ τὴν μεγίστην κατὰ τὴν ἀμέσως πρὸ τῆς διελεύσεως ὥραν.

#### S U M M A R Y

In this study the distribution of precipitation caused by warm fronts is examined in relation to the time that the front crosses Athens (The National Observatory Station). For the period 1951-1970 the warm fronts crossing the Station and giving precipitation amount  $\geq 15,0$  mm are considered. The 14 cases found are carefully selected to be free of other dynamical factors and weather systems giving precipitation. Determination of the time in which the surface warm front was just over the Station is achieved through the indication of the weather maps and records of pressure, température and wind. Nine out of the 14 cases found crossed the Station normally and we characterize them as normal warm fronts (N.W.F.). During the remainder 5 cases the warm sector crossed first the Station and the cold followed, because of the movement of the low itself superimposed to the movement of the front round the barometric low. The time succession of the associated clouds is, of course, reversed and we characterize them as inconsistent warm fronts (I.W.F.).

The main results are as follows :

1. The duration of the precipitation of all W.F. is greater and the intensities smaller than the cold fronts (4).
2. The greater amount of precipitation of the N.W.F. occur before the passage of the surface warm front (4).
3. The I.W.F. behave as cold front as regards the time distribution of precipitation in relation to the passage (4).
4. The mean hourly intensities of precipitation of the N.W.F. occur around the passage with the maximum intensity during the hour immediately before the passage of the surface front.

## ΒΙΒΛΙΟΓΡΑΦΙΑ

1. BROWNING, K. A., Radar measurements of air motion near fronts, Weather, 1971, V. 26, No 7 and 8, pp. 293 - 304 and 320 - 340.
2. HESS, S. L., Introduction to theoretical Meteorology, 1966, p. 175 and 227.
3. ΚΑΡΑΠΙΠΕΡΗΣ, Λ. Ν., Περιγραφική Μετεωρολογία, 1967, σελ. 172 - 269 και 386 - 407.
4. ΚΑΡΑΠΙΠΕΡΗΣ, Λ. Ν. και ΖΑΜΠΑΚΑΣ, Ι. Δ., 'Επί της χρονικής κατανομῆς τῶν βροχῶν κατὰ τὰς διελεύσεις τῶν ψυχρῶν μετώπων ἐκ τοῦ Σταθμοῦ τοῦ 'Εθνικοῦ 'Αστεροσκοπείου 'Αθηνῶν.
5. ΚΑΡΑΠΙΠΕΡΗΣ, Λ. Ν. και ΖΑΜΠΑΚΑΣ, Ι. Δ., Είσαγωγὴ εἰς τὴν Δυναμικὴν Μετεωρολογίαν, ὑπὸ ἔκδοσιν.
6. ROYAL METEOROLOGICAL SOCIETY, The global circulation of the atmosphere, London, 1969.
7. ΖΑΜΠΑΚΑΣ, Ι. Δ., Συμβολὴ εἰς τὴν μελέτην τῶν ἀεροχειμάρρων, Διατριβὴ ἐπὶ διδακτορίᾳ, 1970, σελ. 49.

## ΠΕΡΙΛΗΨΙΣ

Εἰς τὴν μελέτην ταύτην ἔξετάζεται ἡ χρονικὴ κατανομὴ τῶν βροχοπτώσεων κατὰ τὰς διελεύσεις τῶν θερμῶν μετώπων.

Πρός τοῦτο καὶ διὰ τὴν περίοδον 1951 - 1970 ἐλήφθησαν ὑπὸ ὄψιν δλα τὰ τυπικὰ θερμὰ μέτωπα τὰ προκαλέσαντα βροχόπτωσιν  $\geq 15.0$  mm εἰς τὰς 'Αθήνας (Σταθμὸς τοῦ 'Εθνικοῦ 'Αστεροσκοπείου 'Αθηνῶν).

Αἱ εὑρεθέσαι 14 περιπτώσεις ἐπελέγησαν οὕτως ὥστε νὰ εἶναι ἀπηλλαγμέναι ἀλλοι δυναμικῶν παραγόντων καὶ συστημάτων καιροῦ. 'Ο προσδιορισμὸς τοῦ ἀκριβοῦς χρόνου καθ' ὃν τὸ ἐπιφανειακὸν μέτωπον διῆλθεν διὰ τοῦ Σταθμοῦ ἐπετεύχθη διὰ τῶν χαρακτηριστικῶν ὑποδείξεων τῶν χαρτῶν καιροῦ καὶ κυρίως τῶν ταινιῶν βαρογράφου, θερμογράφου καὶ ἀνεμογράφου. Αἱ 9 ἐκ τῶν 14 περιπτώσεων διῆλθον διὰ τοῦ Σταθμοῦ κανονικῶς, καὶ ἐφ' ἔξῆς θὰ χαρακτηρίζωμεν ταύτας ὡς κανονικὰ θερμὰ μέτωπα (Κ. Θ. Μ.). Κατὰ τὰς ὑπολοίπους 5 περιπτώσεις δὲ θερμὸς τομεὺς διῆλθεν πρῶτον διὰ τοῦ Σταθμοῦ καὶ δὲ ψυχρὸς ἡκολούθησεν, παρὰ τὴν ἀναμενομένην κανονικὴν διαδοχήν, λόγῳ τῆς ἐπαλληλίας τῶν κινήσεων τοῦ μετώπου, ἵτοι τοῦ στροβιλισμοῦ αὐτοῦ πέριξ τοῦ μετωποφόρου βαρομετρικοῦ χαμηλοῦ καὶ τῆς κινήσεως τοῦ χαμηλοῦ καθ' ἑαυτό. 'Η χρονικὴ διαδοχὴ τῆς συμπαραμορτούσης νεφώσεως ἔλαβε χώραν κατ' ἀντίστροφον τάξιν δι' ὃ καὶ χαρακτηρίζομεν ταῦτα ὡς ἀνακόλουθα (inconsistent) θερμὰ μέτωπα (Α. Θ. Μ.).

Τὰ κύρια συμπεράσματα ἔχουν ὡς ἀκολούθως :

1. Ἡ διάρκεια βροχοπτώσεως ὅλων τῶν Θ.Μ. εἶναι μεγαλυτέρα καὶ αἱ ἐντάσεις μικρότεραι τῶν ἥδη ἔξετασθέντων ψυχρῶν μετώπων (4).
  2. Τὸ μεγαλύτερον ποσὸν βροχοπτώσεως τῶν Κ.Θ.Μ. ἔλαβε χώραν πρὸ τῆς διελεύσεως τοῦ ἐπιφανειακοῦ θερμοῦ μετώπου (4).
  3. Τὰ Α.Θ.Μ. συμπεριφέρονται ὡς ψυχρὰ ὡς πρὸς τὴν κατανομὴν τῆς βροχοπτώσεως ἐν σχέσει μὲ τὴν διέλευσιν (4).
  4. Αἱ μέσαι ὠριαῖαι ἐντάσεις βροχοπτώσεως τῶν Κ.Θ.Μ. συμβαίνουν πέριξ τοῦ χρόνου διελεύσεως μὲ τὴν μεγίστην ἐντασιν κατὰ τὴν ἀμέσως πρὸ τῆς διελεύσεως ὥραν.
-